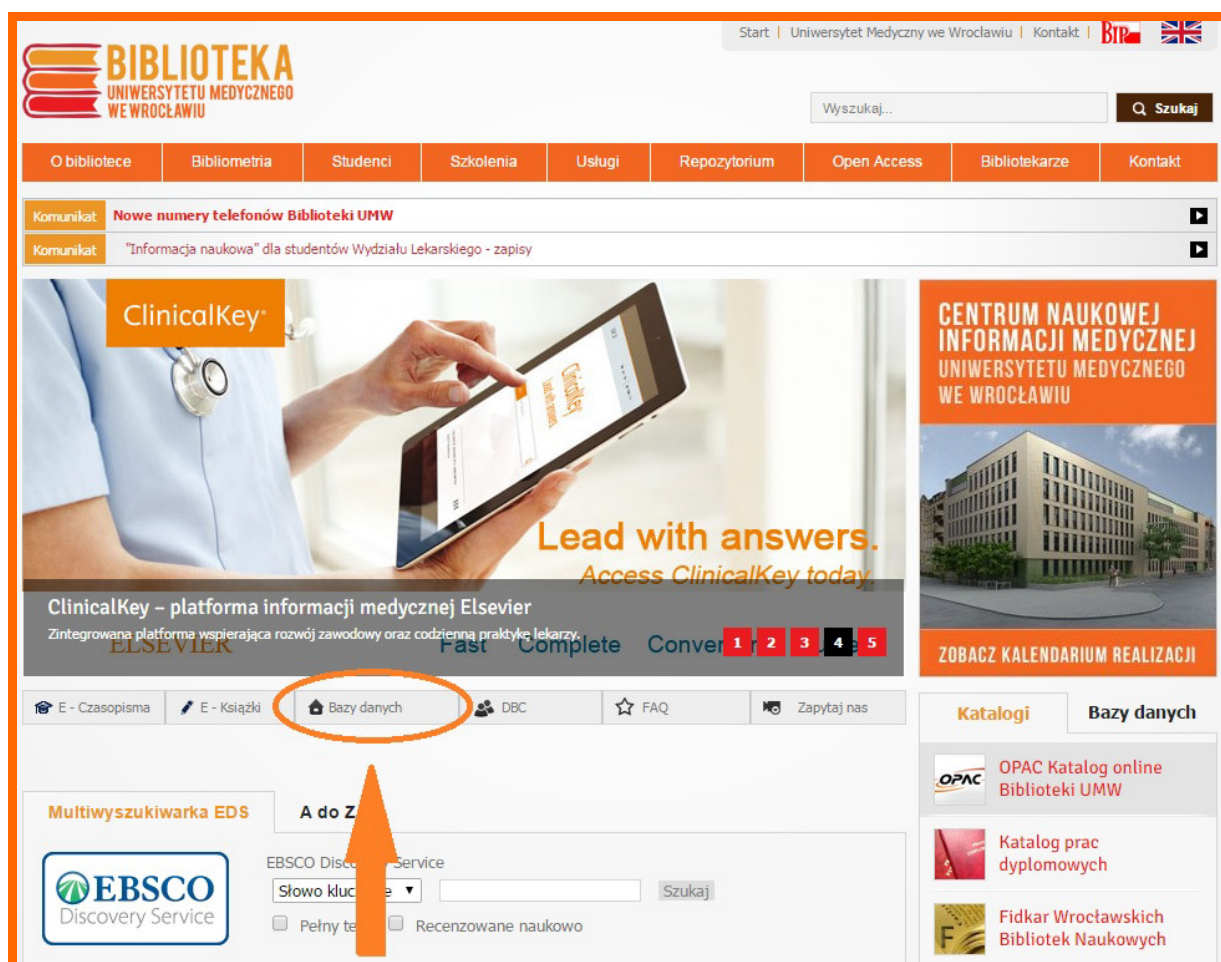


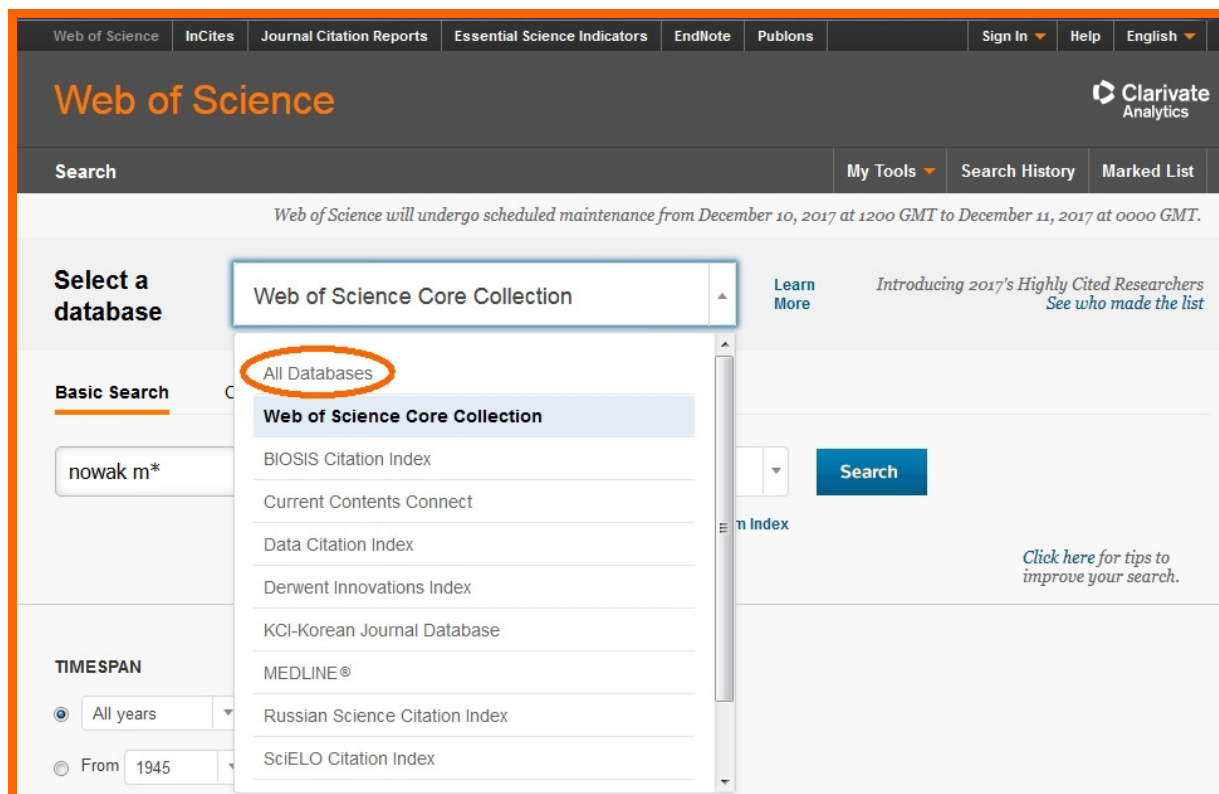
Instrukcja przygotowania analizy cytowań i wartości wskaźnika Hirscha na podstawie pakietu baz Web of Science

1. Baza Web of Science dostępna jest na stronie Biblioteki UMW www.bg.umed.wroc.pl w zakładce **Bazy danych** – dostęp z komputerów uczelnianych, a także w ramach zdalnego dostępu dla pracowników i studentów UMW po zalogowaniu się najpierw w Centralnym Systemie Autoryzacji (CSA) <http://csa.umed.wroc.pl>.



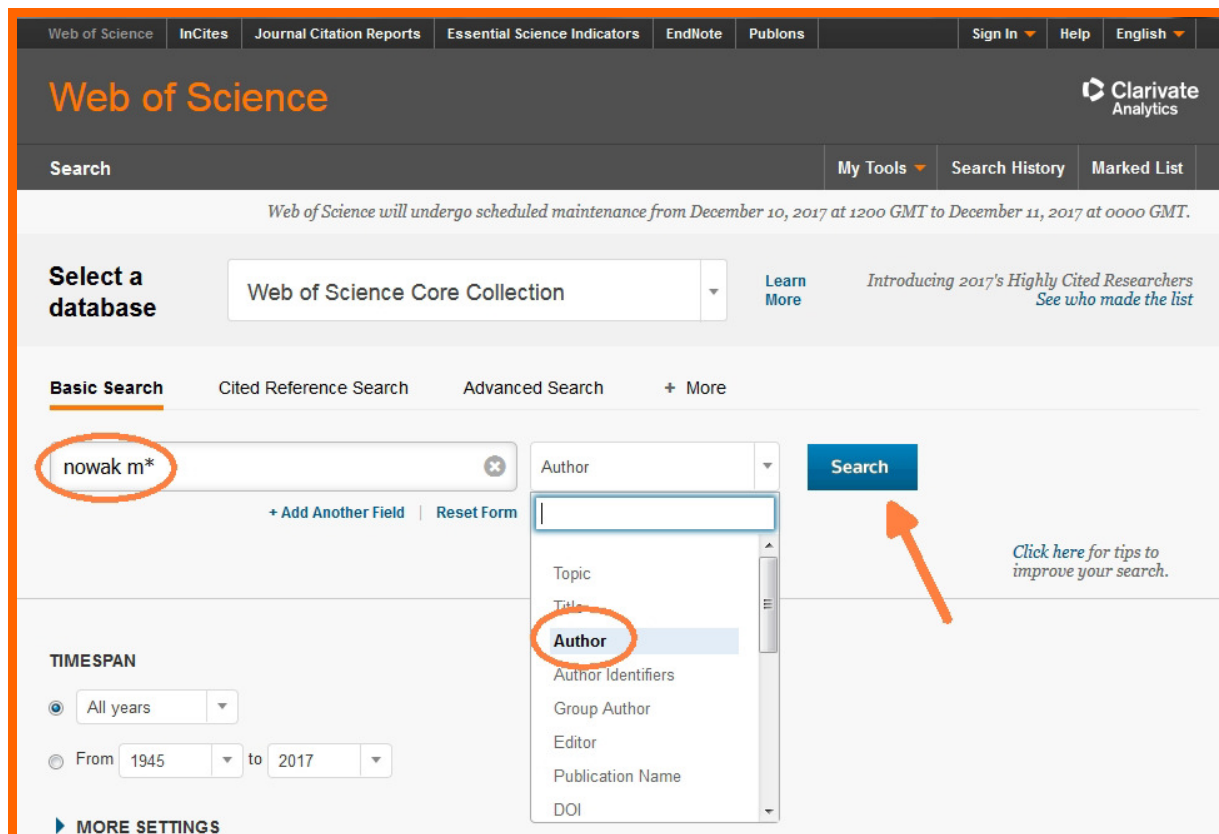
The screenshot shows the library website interface. At the top left is the logo 'BIBLIOTEKA UNIWERSYTETU MEDYCZNEGO WE WROCŁAWIU'. To the right is a search bar with the text 'Wyszukaj...' and a 'Szukaj' button. Below the search bar is a navigation menu with items: 'O bibliotece', 'Bibliometria', 'Studenci', 'Szkolenia', 'Usługi', 'Repozytorium', 'Open Access', 'Bibliotekarze', and 'Kontakt'. Below the menu are two news items: 'Komunikat: Nowe numery telefonów Biblioteki UMW' and 'Komunikat: "Informacja naukowa" dla studentów Wydziału Lekarskiego - zapisy'. The main banner features a doctor using a tablet with the text 'ClinicalKey - platforma informacji medycznej Elsevier' and 'Lead with answers. Access ClinicalKey today'. Below the banner is a navigation bar with icons for 'E - Czasopisma', 'E - Książki', 'Bazy danych' (circled in orange), 'DBC', 'FAQ', and 'Zapytaj nas'. Below the navigation bar is a search section for 'EBSCO Discovery Service' with a search box and a 'Szukaj' button. On the right side, there are sections for 'Katalogi' and 'Bazy danych', including 'OPAC Katalog online Biblioteki UMW', 'Katalog prac dyplomowych', and 'Fidkar Wrocławskich Bibliotek Naukowych'. An orange arrow points from the 'Bazy danych' menu item to the search section.

2. Strona ustawiona jest domyślnie na bazie **Web of Science Core Collection** (aby przeanalizować całość Web of Science, z listy należy wybrać opcję **All Databases**).



The screenshot shows the Web of Science search page. At the top, there are navigation tabs for 'Web of Science', 'InCites', 'Journal Citation Reports', 'Essential Science Indicators', 'EndNote', and 'Publons'. The main header includes the 'Web of Science' logo and 'Clarivate Analytics'. Below the header, there is a 'Search' bar and navigation links for 'My Tools', 'Search History', and 'Marked List'. A maintenance notice states: 'Web of Science will undergo scheduled maintenance from December 10, 2017 at 1200 GMT to December 11, 2017 at 0000 GMT.' The 'Select a database' dropdown menu is open, showing 'Web of Science Core Collection' as the selected option. The 'All Databases' option is circled in orange. Other options in the list include 'BIOSIS Citation Index', 'Current Contents Connect', 'Data Citation Index', 'Derwent Innovations Index', 'KCI-Korean Journal Database', 'MEDLINE®', 'Russian Science Citation Index', and 'SciELO Citation Index'. The search input field contains 'nowak m*'. The 'TIMESPAN' section is set to 'All years'.

3. W polu rozwijanym należy wybrać opcję **Author** a następnie wpisać swoje nazwisko i inicjał imienia z gwiazdką, np. *Nowak M**. Pomijane są znaki diakrytyczne. Wielkość liter nie ma znaczenia. **Uwaga:** Jeśli wyszukiwanie dotyczy osoby, która publikowała pod różnymi wersjami nazwiska lub imienia, należy je wszystkie w zapytaniu uwzględnić, używając separatora **OR** (np. *nowak m* OR kowalska-nowak m**). Następnie należy kliknąć **Search**.



The screenshot shows the Web of Science search page with the search input field containing 'nowak m*' and the 'Author' dropdown menu open. The 'Author' option is circled in orange. The search input field is also circled in orange. The 'Search' button is highlighted with a red arrow. The 'TIMESPAN' section is set to 'All years' with a range from 1945 to 2017. The 'MORE SETTINGS' link is visible at the bottom left.

4. Na ekranie wyświetli się wynik w postaci listy prac autora *Nowak M** zindeksowanych w bazie Web of Science Core Collection. Następnie należy wybrać opcję **Create Citation Reports**.

The screenshot displays the Web of Science search results page for the author 'Nowak M*'. The interface includes a top navigation bar with 'Web of Science' and 'Clarivate Analytics' logos, and a search bar. The main content area shows a list of three search results, each with a title, author information, and publication details. The 'Create Citation Report' button is highlighted with an orange circle. The left sidebar contains options for refining results and filtering by publication years.

Web of Science (from Web of Science Core Collection)

Results: 2,795

Select articles grouped for author name (i): **nowak m***

You searched for: AUTHOR: (nowak m*) ...More

Create Alert

Refine Results

Search within results for...

Filter results by:

- Highly Cited in Field (27)
- Hot Papers in Field (1)

Refine

Publication Years

2016 (192)

Sort by: Publication Date -- newest to oldest

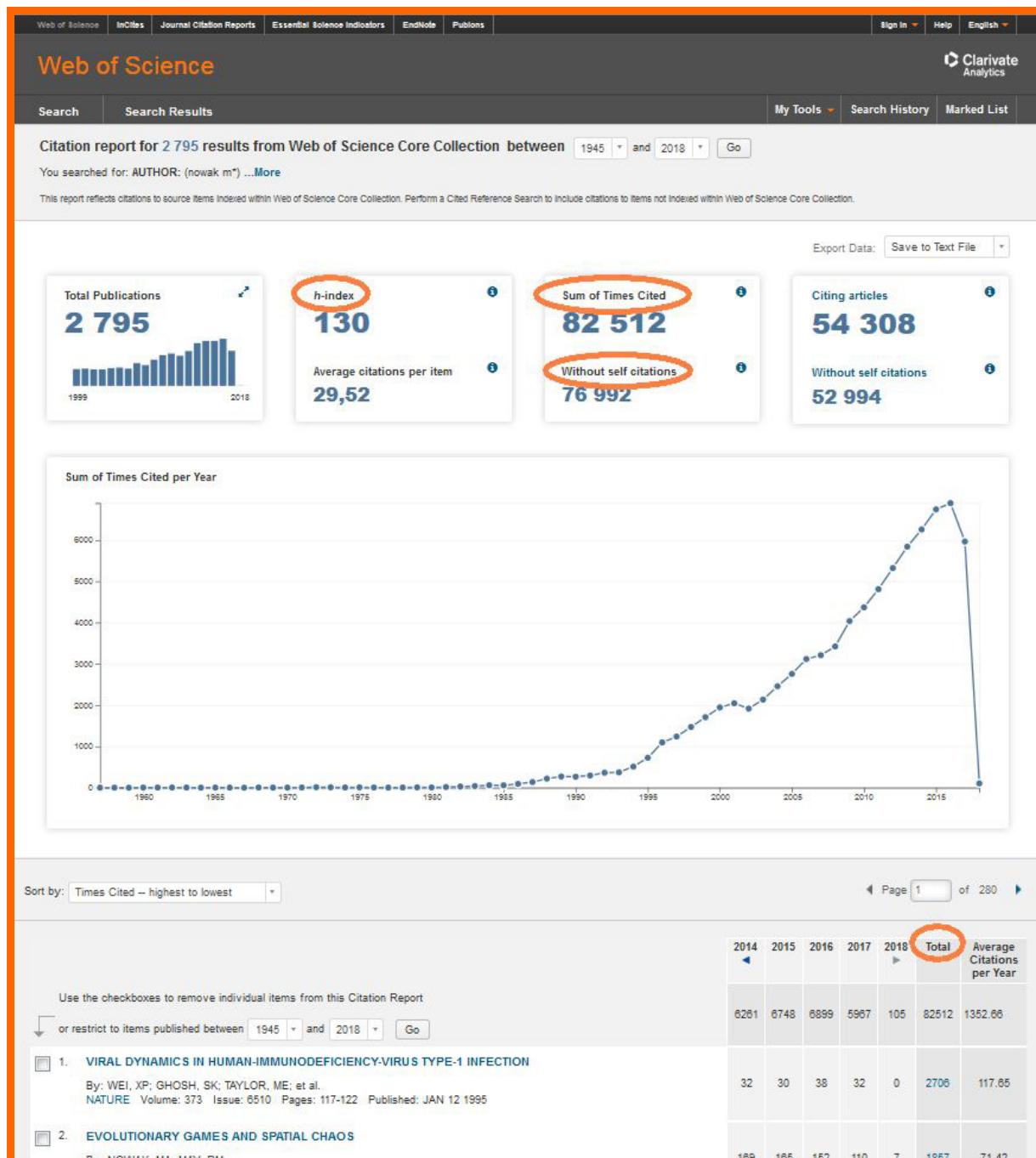
Page 1 of 280

Select Page | 5K | Save to EndNote online | Add to Marked List

Create Citation Report | Analyze Results

- Sonochemical growth of nanomaterials in carbon nanotube**
By: Jesionek, M.; Nowak, M.; Mistewicz, K.; et al.
ULTRASONICS Volume: 83 Special Issue: SI Pages: 179-187 Published: FEB 2018
Full Text from Publisher | View Abstract
Times Cited: 0 (from Web of Science Core Collection)
Usage Count
- Short-term changes in thickness and temperature of the active layer in summer in the Kaffioyra region, NW Spitsbergen, Svalbard**
By: Sobota, Ireneusz; Weckwerth, Piotr; Grajewski, Tomasz; et al.
CATENA Volume: 160 Pages: 141-153 Published: JAN 2018
Full Text from Publisher | View Abstract
Times Cited: 0 (from Web of Science Core Collection)
Usage Count
- Photoinduced transformations of indole and 3-formylindole monomers isolated in low-temperature matrices**
By: Reva, Igor; Lapinski, Leszek; Lopes Jesus, A. J.; et al.
JOURNAL OF CHEMICAL PHYSICS Volume: 147 Issue: 19 Article Number: 194304 Published: NOV 21 2017
Full Text from Publisher | View Abstract
Times Cited: 0 (from Web of Science Core Collection)
Usage Count

5. Na otrzymanym ekranie u góry strony pojawi się zbiorcza informacja m.in. o liczbie cytowań z autocytowaniami (**Sum of the Times Cited**) i bez nich (**Without self citations**) oraz wskaźniku Hirscha (**h-index**). Poniżej wyświetli się także lista prac danego autora zindeksowanych w bazie wraz z ich liczbą cytowań za poszczególne lata oraz wynik sumaryczny (**Total**).



WAŻNE

6. Ze względu na możliwość współistnienia kilku autorów o tym samym nazwisku, konieczne jest **wyeliminowanie nie swoich** prac ze zbioru. W tym celu należy je zaznaczyć i kliknąć opcję **Go**, położoną nad listą publikacji. Dopiero po upewnieniu się, że wszystkie wykazane w tabeli prace należą do danego autora, odczytujemy dane o liczbie cytowań i wskaźniku h-index.

Sort by: Times Cited -- highest to lowest Page 1 of 280

Use the checkboxes to remove individual items from this Citation Report

or restrict to items published between 1945 and 2018 **Go**

	2014	2015	2016	2017	2018	Total	Average Citations per Year
<input checked="" type="checkbox"/> 1. VIRAL DYNAMICS IN HUMAN-IMMUNODEFICIENCY-VIRUS TYPE-1 INFECTION By: WEI, XP; GHOSH, SK; TAYLOR, ME; et al. NATURE Volume: 373 Issue: 6510 Pages: 117-122 Published: JAN 12 1995	6261	6748	6899	5967	105	82512	1352.66
<input type="checkbox"/> 2. EVOLUTIONARY GAMES AND SPATIAL CHAOS By: NOWAK, MA; MAY, RM NATURE Volume: 359 Issue: 6398 Pages: 826-829 Published: OCT 29 1992	32	30	38	32	0	2706	117.65
<input type="checkbox"/> 3. Five rules for the evolution of cooperation By: Nowak, Martin A. SCIENCE Volume: 314 Issue: 5805 Pages: 1560-1563 Published: DEC 8 2006	169	165	152	110	7	1857	71.42
<input checked="" type="checkbox"/> 4. Antibody neutralization and escape by HIV-1 By: Wei, XP; Decker, JM; Wang, SY; et al. NATURE Volume: 422 Issue: 6929 Pages: 307-312 Published: MAR 20 2003	210	242	241	172	5	1781	148.42
<input type="checkbox"/> 5. HABITAT DESTRUCTION AND THE EXTINCTION DEBT By: TILMAN, D; MAY, RM; LEHMAN, CL; et al. NATURE Volume: 371 Issue: 6492 Pages: 65-66 Published: SEP 1 1994	80	94	87	90	0	1485	99.00
	72	108	75	78	1	1347	56.13

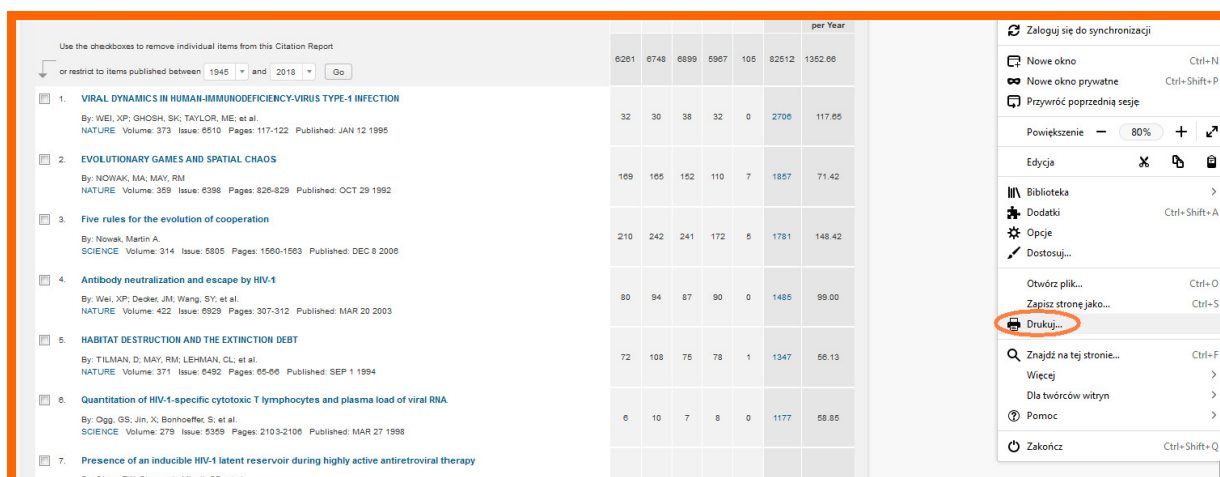
WSKAZÓWKA

Należy pamiętać, że eliminowanie nie swoich publikacji najlepiej wykonywać w obrębie jednej strony (10 rekordów), gdyż w przypadku odznaczenia prac na kilku stronach jednocześnie (przed wybraniem opcji **Go**), system i tak zapamiętuje zaznaczenia tylko z aktualnie otwartej strony i w rezultacie wszystkie publikacje na wcześniejszych stronach trzeba zaznaczyć ponownie. Kliknięcie przycisku **Go** eliminuje niechciane prace, a tym samym aktualizuje wyniki cytowań i h-index.

Zapisanie strony WWW jako dokumentu PDF

Przeglądarka Mozilla Firefox 

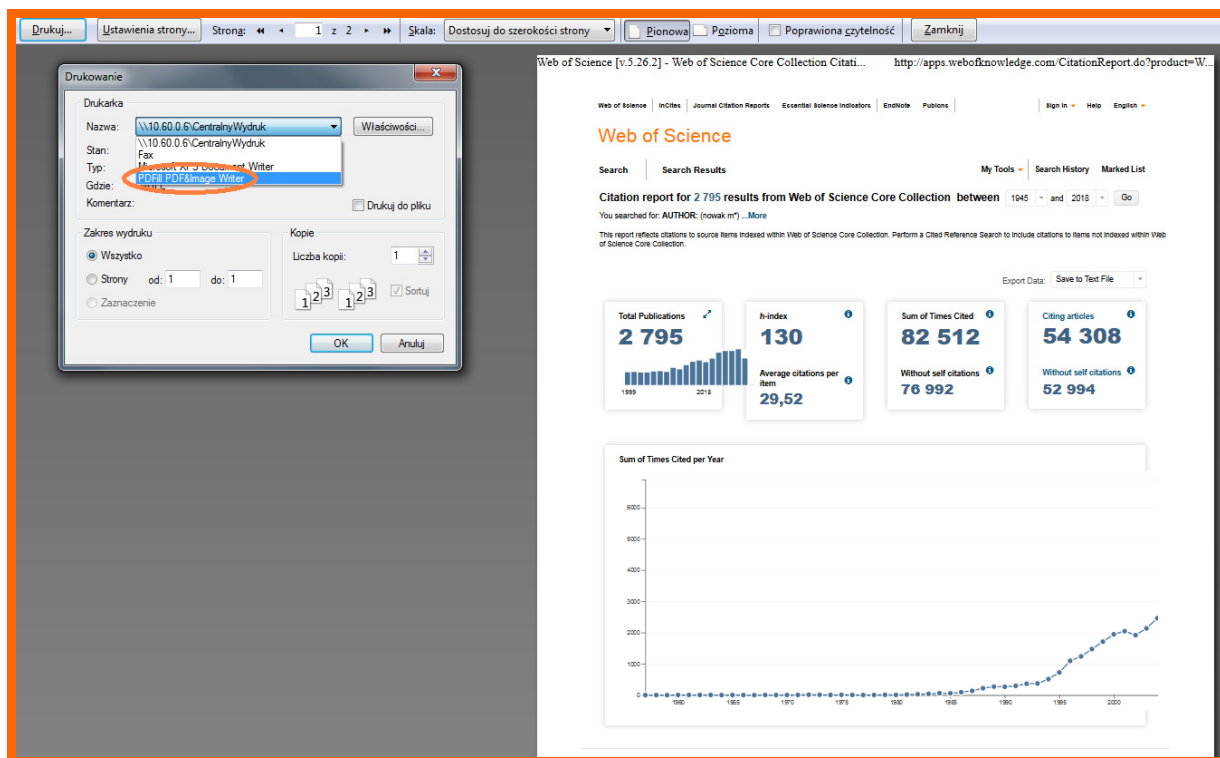
Aby zapisać wyświetlaną stronę WWW jako dokument PDF, należy otworzyć menu przeglądarki w lewym górnym rogu okna i wybrać opcję **Drukuj**.



The screenshot shows the Mozilla Firefox browser interface. On the left, a citation report is displayed with a table of data. On the right, the browser's menu is open, and the 'Drukuj...' option is highlighted with a red circle. The menu also shows other options like 'Zaloguj się do synchronizacji', 'Nowe okno', and 'Zakończ'.

	6261	6748	6899	5987	105	82512	1352,66
1. VIRAL DYNAMICS IN HUMAN IMMUNODEFICIENCY-VIRUS TYPE-1 INFECTION By: WEI, XP; GHOSH, SK; TAYLOR, ME, et al. NATURE Volume: 373 Issue: 6510 Pages: 117-122 Published: JAN 12 1995	32	30	38	32	0	2706	117,65
2. EVOLUTIONARY GAMES AND SPATIAL CHAOS By: NOWAK, MA; MAY, RM NATURE Volume: 359 Issue: 6398 Pages: 826-829 Published: OCT 29 1992	169	165	152	110	7	1857	71,42
3. Five rules for the evolution of cooperation By: Nowak, Martin A. SCIENCE Volume: 314 Issue: 5905 Pages: 1560-1563 Published: DEC 9 2000	210	242	241	172	5	1781	148,42
4. Antibody neutralization and escape by HIV-1 By: Wei, XP; Decker, JM; Wang, SY, et al. NATURE Volume: 422 Issue: 6929 Pages: 307-312 Published: MAR 20 2003	80	94	87	90	0	1485	99,00
5. HABITAT DESTRUCTION AND THE EXTINCTION DEBT By: TILMAN, D; MAY, RM; LEHMAN, CL, et al. NATURE Volume: 371 Issue: 6492 Pages: 65-66 Published: SEP 1 1994	72	108	75	78	1	1347	58,13
6. Quantitation of HIV-1-specific cytotoxic T lymphocytes and plasma load of viral RNA By: Ogg, GS; Jin, X; Bohmeyer, S, et al. SCIENCE Volume: 279 Issue: 5359 Pages: 2103-2106 Published: MAR 27 1998	0	10	7	8	0	1177	58,85
7. Presence of an inducible HIV-1 latent reservoir during highly active antiretroviral therapy							

Następnie z dostępnych opcji należy wybrać, zamiast drukarki, odpowiedni program, np. PDFill lub PDFCreator i zapisać plik.



The screenshot shows the Mozilla Firefox browser interface with the print dialog box open. The 'Drukowanie' dialog box is in the foreground, and the 'Drukuj...' option is highlighted. The background shows the Web of Science citation report for 2795 results from 1945 to 2018. The report includes a table of statistics and a line graph showing the sum of times cited per year.

Year	Sum of Times Cited
1945	0
1950	0
1955	0
1960	0
1965	0
1970	0
1975	0
1980	0
1985	0
1990	0
1995	0
2000	0
2005	0
2010	0
2015	0
2018	0

Przykład pliku, który można uzyskać tym sposobem, znajduje się na końcu instrukcji.

Web of Science

Search | Search Results | My Tools | Search History | Marked List

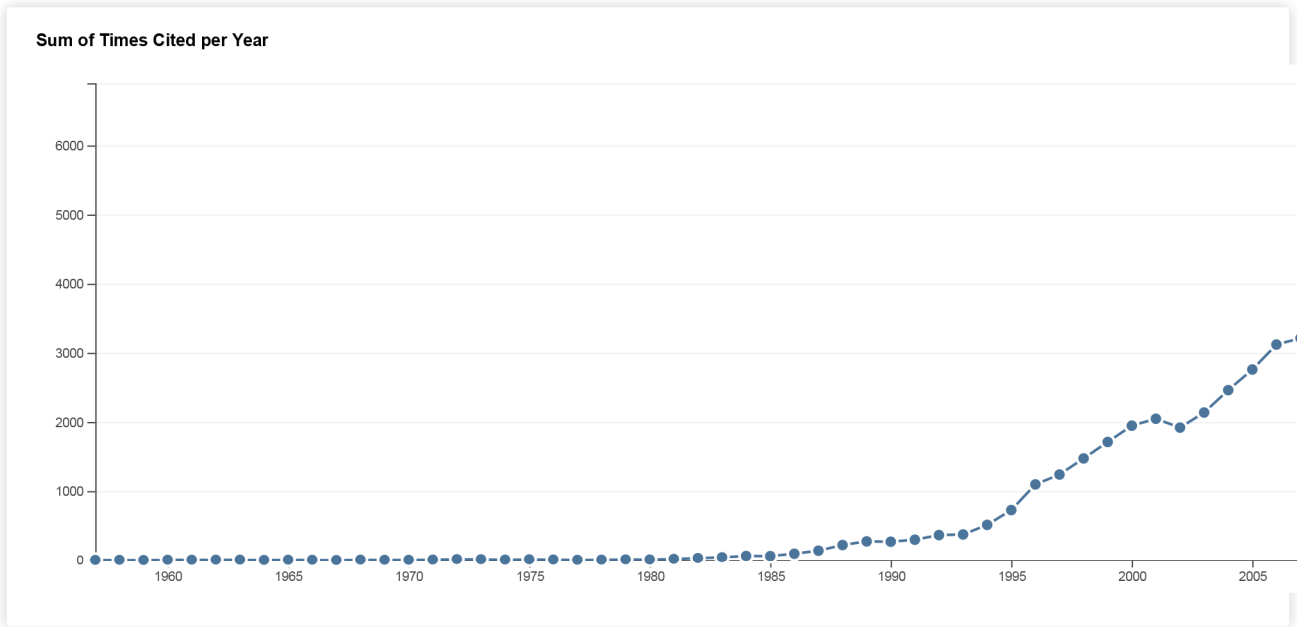
Citation report for 2 795 results from Web of Science Core Collection between 1945 and 2018

You searched for: **AUTHOR:** (nowak m*) [...More](#)

This report reflects citations to source items indexed within Web of Science Core Collection. Perform a Cited Reference Search to include citations to items not indexed within Web of Science Core Collection.

Export Data:

Total Publications 2 795 	h-index 130 Average citations per item 29,52	Sum of Times Cited 82 512 Without self citations 76 992	Citing articles 54 308 Without self citations 52 994
---	--	---	--



Sort by: Times Cited -- highest to lowest

Page 1 of 280

	2014	2015	2016	2017	2018	Total	Average Citations per Year
Use the checkboxes to remove individual items from this Citation Report							
<input type="checkbox"/>	6261	6748	6899	5967	105	82512	1352.66
or restrict to items published between 1945 and 2018 <input type="button" value="Go"/>							
<input type="checkbox"/> 1. VIRAL DYNAMICS IN HUMAN-IMMUNODEFICIENCY-VIRUS TYPE-1 INFECTION	32	30	38	32	0	2706	117.65
By: WEI, XP; GHOSH, SK; TAYLOR, ME; et al. NATURE Volume: 373 Issue: 6510 Pages: 117-122 Published: JAN 12 1995							
<input type="checkbox"/> 2. EVOLUTIONARY GAMES AND SPATIAL CHAOS	169	165	152	110	7	1857	71.42
By: NOWAK, MA; MAY, RM NATURE Volume: 359 Issue: 6398 Pages: 826-829 Published: OCT 29 1992							
<input type="checkbox"/> 3. Five rules for the evolution of cooperation	210	242	241	172	5	1781	148.42


By: Nowak, Martin A.
SCIENCE Volume: 314 Issue: 5805 Pages: 1560-1563 Published: DEC 8 2006

<input type="checkbox"/>	4.	Antibody neutralization and escape by HIV-1	80	94	87	90	0	1485	99.00
		By: Wei, XP; Decker, JM; Wang, SY; et al. NATURE Volume: 422 Issue: 6929 Pages: 307-312 Published: MAR 20 2003							
<input type="checkbox"/>	5.	HABITAT DESTRUCTION AND THE EXTINCTION DEBT	72	108	75	78	1	1347	56.13
		By: TILMAN, D; MAY, RM; LEHMAN, CL; et al. NATURE Volume: 371 Issue: 6492 Pages: 65-66 Published: SEP 1 1994							
<input type="checkbox"/>	6.	Quantitation of HIV-1-specific cytotoxic T lymphocytes and plasma load of viral RNA	6	10	7	8	0	1177	58.85
		By: Ogg, GS; Jin, X; Bonhoeffer, S; et al. SCIENCE Volume: 279 Issue: 5359 Pages: 2103-2106 Published: MAR 27 1998							
<input type="checkbox"/>	7.	Presence of an inducible HIV-1 latent reservoir during highly active antiretroviral therapy	45	43	63	56	0	1102	52.48
		By: Chun, TW; Stuyver, L; Mizell, SB; et al. PROCEEDINGS OF THE NATIONAL ACADEMY OF SCIENCES OF THE UNITED STATES OF AMERICA Volume: 94 Issue: 24 Pages: 13193-13197 Published: NOV 25 1997							
<input type="checkbox"/>	8.	Distant metastasis occurs late during the genetic evolution of pancreatic cancer	185	190	175	141	0	1085	135.63
		By: Yachida, Shinichi; Jones, Sian; Bozic, Ivana; et al. NATURE Volume: 467 Issue: 7319 Pages: 1114-U126 Published: OCT 28 2010							
<input type="checkbox"/>	9.	Evolution of indirect reciprocity by image scoring	80	84	94	57	3	1072	53.60
		By: Nowak, MA; Sigmund, K NATURE Volume: 393 Issue: 6685 Pages: 573-577 Published: JUN 11 1998							
<input type="checkbox"/>	10.	Late escape from an immunodominant cytotoxic T-lymphocyte response associated with progression to AIDS	19	25	20	14	0	918	43.71
		By: Goulder, PJR; Phillips, RE; Colbert, RA; et al. NATURE MEDICINE Volume: 3 Issue: 2 Pages: 212-217 Published: FEB 1997							

Select Page |   | ▾

Sort by: Times Cited -- highest to lowest ▾

Page 1 of 280

2 795 records matched your query of the 65,823,010 in the data limits you selected.
Key:  = Structure available.